

[14] Гуро Г. М., Ковтолюк Н. Ф. ФТП, 1969, т. 3, № 5, с. 636—642.

[15] Зайдель А. Н., Прокофьев В. К., Райский С. М. и др. Таблицы спектральных линий. М.: Наука, 1969. 784 с.

Институт физики АН УССР
Киев

Поступило в Редакцию
19 марта 1987 г.
В окончательной редакции
27 июля 1987 г.

Журнал технической физики, т. 58, в. 7, 1988

О СКАЧКООБРАЗНОЙ ТРАНСФОРМАЦИИ МАГНИТНОЙ КАПЛИ

В. Г. Баштовой, В. Э. Кашевский, А. О. Кузубов

Капля магнитной жидкости привлекает большой интерес как модельный объект для исследования статических и динамических трансформаций формы поверхности раздела жидких сред с различной магнитной проницаемостью в поле [1-5]. Как установлено в опытах [3], при достаточно большой магнитной проницаемости жидкости ($\mu \geq 20$) равновесное удлинение капли в зависимости от напряженности приложенного поля H изменяется по достижении критического значения напряженности H_c скачком — на порядок. Интересна динамика этого перехода [4]: при небольшом превышении H над H_c капля, имеющая удлинение ~ 2 , длительное время (~ 1 мин) практически не изменяется, а затем вытягивается в течение несколь-

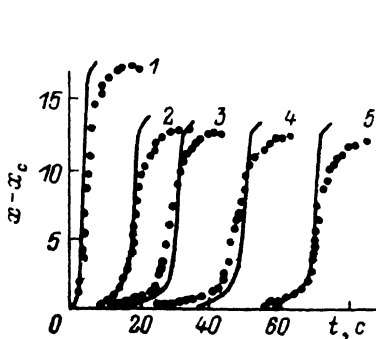


Рис. 1.

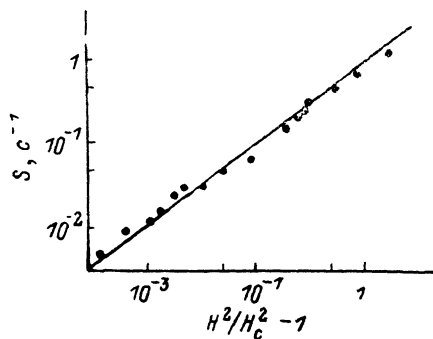


Рис. 2.

ких секунд. Теоретическое описание этого процесса выполнено [4, 5] лишь на его начальной стадии. Здесь он описан полностью, предложена модель, пригодная для исследования более широкого класса трансформаций капли в стационарных и переменных полях. Для описания равновесных форм магнитной капли весьма успешно используется ее представление эллипсоидом вращения [2-5]. Это сильно упрощает исследование, делая тривиальной магнитостатическую задачу и сводя описание формы к единственной переменной. Ценность этих преимуществ становится особенно очевидной при сравнении теории с экспериментом [3]. Желая сохранить их, полагаем, что и в динамике капля остается эллипсоидом вращения. Поскольку в динамике, как и в статике [2], невозможно удовлетворить граничным условиям одновременно на всей поверхности эллипсоида, воспользуемся, как и в [3, 4], интегральным энергетическим методом. Полная энергия капли $E = T + U$ складывается из кинетической T и потенциальной U . Последняя есть сумма поверхностной U_σ и магнитной U_M

$$T = \frac{1}{2} \int_V \rho v^2 dV, \quad U_\sigma = \sigma S, \quad U_M = -V \int_0^{H_0} M dH_0.$$

Здесь v — скорость жидкости в капле; ρ — ее плотность; σ — коэффициент поверхностного натяжения; S , V — площадь поверхности и объем капли; H_0 — напряженность однородного магнитного поля до внесения капли; M — ее намагниченность. Ограничимся линейной зависимостью $M(H)$. В эллипсоиде вращения

$$M = \chi_1 H_0, \quad \chi_1 = \frac{\chi_0}{1 + 4\pi\chi_0 n}, \quad U_M = -\frac{1}{2} V \chi_1 H_0^2.$$

Здесь χ_0 — начальная магнитная восприимчивость жидкости, n — размагничивающий фактор эллипсоида вдоль оси вращения. Закон изменения полной энергии капли $E = \partial U / \partial t - W$ (W — скорость диссипации энергии) принимает вид

$$\dot{T} + \dot{x} \left(\frac{\partial U_\sigma}{\partial x} + \frac{\partial U_M}{\partial x} \right) = -W.$$

Здесь x — характеристика формы эллипсоида, например соотношение длинной и короткой полуосей. Поскольку намагничивание считается равновесным, диссипация имеет чисто вязкий характер (e_{ij} — тензор скорости сдвига, η — вязкость)

$$W = 2\eta \int_V e_{ij} e_{ij} dV,$$

$$e_{ij} = \frac{1}{2} \left(\frac{\partial v_i}{\partial x_j} + \frac{\partial v_j}{\partial x_i} \right).$$

Простейшее течение, обеспечивающее эллипсоидальную форму капли, — потенциальное течение с однородным тензором скорости деформации

$$v = \nabla \Phi, \quad \Phi = \frac{1}{2} e_{ij} x_i x_j = \frac{1}{2} (e_1 x_1^2 + e_2 x_2^2 + e_3 x_3^2).$$

Рис. 3.

Главные значения e_1, e_2, e_3 тензора e_{ij} определяются скоростью изменения длины полуосей эллипсоида, и для эллипсоида вращения с учетом уравнения неразрывности ($e_1 + e_2 + e_3 = 0$)

$$e_1 = e_2 = -\frac{e_3}{2} = -\frac{1}{2} b \frac{db}{dt},$$

где b — полуось вращения. Сделав подстановки, получим уравнение динамики формы капли в следующем безразмерном виде:

$$\begin{aligned} & \frac{32A}{45} \left[(3 - e^2) x \dot{x} - \frac{2}{3} (3 - 2e^2) x^2 \right] + \frac{2}{3} B x^{-1/2} \dot{x} + \frac{1}{e^2} \left[3 - 2e^2 + \right. \\ & \left. + \frac{4e^2 - 3}{e \sqrt{1 - e^2}} \arcsine \right] = x_1^2 B_m^0 \left[\frac{3 - e^2}{e^5} \text{Arthe} - \frac{3}{e^4} \right] x^{-1/2}. \end{aligned} \quad (1)$$

Здесь $e = (1 - x^{-2})^{1/2}$ — эксцентриситет; точка над буквой — производная по времени,

$$B_m^0 = \frac{4\pi R_0 H_0^2}{\sigma}, \quad A = \frac{\rho R_0^3}{8\sigma t_0^2}, \quad B = \frac{4\eta R_0}{\sigma t_0}, \quad R_0 = \left(\frac{3V}{4\pi} \right)^{1/3}$$

(t_0 — масштаб времени). Стационарным решением уравнения (1) является функция $e(B_m^0)$, найденная в [3]. Рассмотрим на его основе эксперимент [4]: в начальный момент капля имеет критическое удлинение $x_c = 2$ в поле $H_c = 1.37$ Э, затем поле скачком увеличивается до величины $H > H_c$. Результат эксперимента представлен на рис. 1 (точки). Зависимости 1–5 получены для значений параметра $h = H/H_c - 1$ соответственно $1.4 \cdot 10^{-1}$, $1.6 \cdot 10^{-2}$, $6.8 \cdot 10^{-3}$, $3.2 \cdot 10^{-4}$, $1.9 \cdot 10^{-4}$. В [4] указаны характеристики капли: $\sigma = 6.1 \cdot 10^{-4}$ дин/см, $R_0 = 10.5 \cdot 10^{-4}$ см, $\chi_0 = 2.95$; вязкость жидкости неизвестна. Ее можно определить по начальному (линейному) участку зависимости $x(t)$, для которого из (1) получим соотношение

$$S = \frac{3}{2} x_c^{1/2} \frac{1}{e_c^2} \left[3 - 2e_c^2 + \frac{\arcsine e_c}{e_c \sqrt{1 - e_c^2}} (4e_c^2 - 3) \right] \frac{\sigma}{4\eta R_0}. \quad (2)$$

Добиваясь наилучшей аппроксимации данных рис. 1 зависимостью (2) (рис. 2), находим значение $\eta=0.55$ Пз. В капле с такими параметрами вязкие силы полностью подавляют инерционные, и в уравнении (1) следует положить $A=0$. Решение этого уравнения с начальным условием $x(0)=x_0$ при $H=H_c$, которое определяется из его стационарного решения, получено численно методом Эйлера. Результаты представлены на рис. 1 сплошными линиями. Причина несколько более плавного нарастания удлинения в эксперименте по сравнению с теорией может заключаться в зависимости вязкости от напряженности поля: поле в капле с увеличением ее длины нарастает.

Если инерционным слагаемым пренебречь нельзя, то процесс имеет колебательный характер (рис. 3). Здесь изображены графики переходного процесса, соответствующего кривой 1 на рис. 1, при различном соотношении вязких, капиллярных и инерционных сил; $B=5$ (1), 10 (2), 40 (3). В качестве масштаба времени в (1) взята обратная частота свободных колебаний невязкой капли

$$t_0 = \left(\frac{8\sigma}{\rho R_0^3} \right)^{1/2}, \quad B = 4\eta \left(\frac{8}{\sigma \rho R_0} \right)^{1/2}, \quad A = 1.$$

Решение получено методом Рунге—Кутты.

Литература

- [1] Архипенко В. Н., Барков Ю. Д., Баштовой В. Г. *Магнитная гидродинамика*, 1978, № 3, с. 131—134.
- [2] Блум Э. Я., Михайлов Ю. А., Озоле Р. Я. *Тепло- и массообмен в магнитном поле*. Рига: Зинатне, 1980. 355 с.
- [3] Vacri J. C., Salin D. — *J. Physique (Lettres)*, 1982, v. 43, N 17, p. 649—654.
- [4] Vacri J. C., Salin D. — *J. Physique (Lettres)*, 1983, v. 44, N 13, p. 415—420.
- [5] Цеберс А. О. *Магнитная гидродинамика*, 1985, № 1, с. 25—34.

Белорусский
политехнический институт
Минск

Поступило в Редакцию
23 марта 1987 г.
В окончательной редакции
8 февраля 1988 г.

О МАГНИТОУПРУГИХ И МЕХАНИЧЕСКИХ СВОЙСТВАХ СОЕДИНЕНИЙ СИСТЕМЫ Tb—Fe

Е. В. Долгих, Г. Н. Федюкина, Л. Н. Бабушкина

Интерметаллические соединения RFe_2 (R —Tb, Sm, Dy), обладающие такими уникальными свойствами, как гигантская магнитострикция (10^{-3}) и огромный магнитомеханический гистерезис [1^{-3}], не находят практического применения из-за низкой механической прочности и плохой обрабатываемости.

В предлагаемой работе сообщаются результаты исследования магнитоупругих и механических свойств упрочненных образцов системы Tb—Fe.

Сплавы выплавляли в электродуговой печи. Расплавленный металл сливали в цилиндрическую форму. Деформацию образцов (диаметром 6 и длиной 10 мм) измеряли тензометрическим методом, применяя тензодатчики типа КФ-5 (база 1 мм). Для проведения механических испытаний образцы крепили к стальным наконечникам с помощью диффузионной сварки.

Как видно из таблицы, механическая прочность на разрыв образцов состава $Tb_{1.2}Fe_{1.8}$, упрочненных эвтектикой (образцы 4—6), увеличивается по сравнению с $TbFe_2$ (образцы 1—3) в ~ 10 раз, а дополнительное упрочнение медью сплавов этого же состава повышает их механическую прочность, в частности на разрыв, до 200 МПа, что уже близко к пределу текучести железа. При этом сохраняются достаточно высокие значения магнитоупругих характеристик (см. таблицу).

Высокая механическая прочность высокомагнитострикционных сплавов (образцы 7—9) позволила впервые экспериментально получить полную замкнутую петлю магнитомеханиче-